

## Шестиволновое взаимодействие в многомодовых волноводах с керровской нелинейностью с учетом гауссовой структуры волн накачки

В.В. Ивахник<sup>1</sup>, Д.Р. Капизов<sup>1</sup>, В.И. Никонов<sup>1</sup>

<sup>1</sup> Самарский национальный исследовательский университет имени академика С.П. Королёва, 443086, Россия, г. Самара, Московское шоссе, д. 34

### Аннотация

Проанализировано качество обращения волнового фронта при шестиволновом взаимодействии в двумерных многомодовых волноводах с керровской нелинейностью при условии, что одна из волн накачки возбуждает нулевую моду волновода, а распределение амплитуды другой волны накачки на грани волновода меняется по гауссову закону. Показано, что в волноводе с бесконечно проводящими стенками полуширина модуля функции размытия точки шестиволнового преобразователя излучения полностью определяется поперечными размерами волновода, слабо зависит от ширины гауссовой волны накачки. В волноводе с параболическим профилем показателя преломления уменьшение ширины гауссовой волны накачки на гранях волновода приводит, как правило, к монотонному уменьшению полуширины модуля функции размытия точки.

**Ключевые слова:** шестиволновой преобразователь излучения, обращение волнового фронта, керровская нелинейность.

**Цитирование:** Ивахник, В.В. Шестиволновое взаимодействие в многомодовых волноводах с керровской нелинейностью с учетом гауссовой структуры волн накачки / В.В. Ивахник, Д.Р. Капизов, В.И. Никонов // Компьютерная оптика. – 2024. – Т. 48, № 4. – С. 483-490. – DOI: 10.18287/2412-6179-CO-1439.

**Citation:** Ivakhnik VV, Kapizov DR, Nikonov VI. Six-wave interaction in multimode waveguides with Kerr nonlinearity with allowance for the Gaussian structure of pump waves. Computer Optics 2024; 48(4): 483-490. DOI: 10.18287/2412-6179-CO-1439.

### Введение

По сравнению с трех-, четырехволновыми преобразователями излучения шестиволновые преобразователи излучения обладают большими возможностями управления формой волнового фронта, пространственной фильтрации, преобразования изображения, передачи информации с одних пучков на другие и т.д. [1–7].

Для повышения эффективности (коэффициента отражения), как и при четырехволновом взаимодействии [8–13], целесообразно и шестиволновое взаимодействие рассматривать в волноводах [14].

Многоволновое взаимодействие в волноводах по сравнению с взаимодействием в неограниченных в поперечном направлении средах характеризуется по крайней мере двумя особенностями: 1) выполнение условий фазового синхронизма при переходе от непрерывного набора мод, на которые раскладываются амплитуды взаимодействующих волн, к дискретному набору накладывает часто более жесткие требования на номера мод взаимодействующих волн; 2) изменяется роль волн накачки. В нелинейной среде с неограниченными в поперечном направлении размерами пространственная структура волн накачки на гранях нелинейной среды определяет объем нелинейной среды, в которой происходит эффективное многоволновое взаимодействие. В волноводе объем взаимодействия определяется в основном геометрическими размерами самого волновода. Пространственная

структура волн накачки на гранях волновода определяет распределения амплитуд волн накачки по поперечному сечению волновода.

При использовании многоволновых преобразователей излучения в системах коррекции фазовых искажений для обработки изображений в реальном масштабе времени необходимо знание соответствия между комплексными амплитудами падающей (сигнальной) на преобразователь и отраженной или прошедшей (объектной) волн [15]. Задача о нахождении однозначной связи между комплексными амплитудами объектной и сигнальной волн имеет решение лишь в приближении заданного поля по волнам накачки. В этом случае многоволновой преобразователь излучения можно рассматривать как линейный фильтр пространственных частот [16] и, используя, например, метод функции размытия точки (ФРТ), найти однозначную связь между комплексными амплитудами сигнальной и объектной волн [17].

В настоящей работе в приближении заданного поля по волнам накачки с учетом пространственной структуры волн накачки методом ФРТ анализируется качество обращения волнового фронта (ОВФ) при шестиволновом взаимодействии в многомодовых двумерных волноводах с керровской нелинейностью. В качестве волноводов рассматриваются волновод с бесконечно проводящими поверхностями и градиентный волновод с параболическим профилем показателя преломления (параболический волновод).

### 1. Вывод выражения для функции размытия точки шестиволнового преобразователя излучения

Имеется волновод с керровской нелинейностью, расположенный между плоскостями  $z=0$  и  $z=l$ . В волноводе навстречу друг другу распространяются две волны накачки с комплексными амплитудами  $A_1, A_2$  и сигнальная волна с комплексной амплитудой  $A_3$ . В среде в результате вырожденного шестиволнового взаимодействия  $\omega + \omega - \omega + \omega - \omega = \omega$  наводится нелинейная поляризация  $P^{nu} \sim (A_1^2 A_1^* A_2 + A_1 A_2^2 A_2^*) A_3^*$ , которая выступает как источник объектной волны с комплексной амплитудой  $A_6$ , сопряженной амплитуде сигнальной волны и распространяющейся ей навстречу.

В приближении заданного поля по волнам накачки, без учета изменения показателя преломления из-за распространения волн накачки, при малом коэффициенте преобразования ( $|A_6| \ll |A_3|$ ) система уравнений, описывающая распространение волн накачки, сигнальной волны, генерацию волны с обращенным волновым фронтом, имеет вид [17–18]:

$$\begin{aligned} [\nabla^2 + k^2 n^2(x)] A_{1,2,3} &= 0, \\ [\nabla^2 + k^2 n^2(x)] A_6 &= -g (A_1^2 A_1^* A_2 + A_1 A_2^2 A_2^*) A_3^*. \end{aligned} \quad (1)$$

Здесь  $g = 240\pi k^2 \chi^{(5)}$ ,  $\chi^{(5)}$  – нелинейная восприимчивость пятого порядка,  $k = \omega/c$ ,  $\omega$  – циклическая частота,  $n(x)$  – показатель преломления,  $x$  – поперечная координата.

Пусть модами волновода являются функции:

$$f_m(x, z) = \tilde{f}_m(x) \exp(-i\beta_m z). \quad (2)$$

Здесь  $\beta_m$  – постоянная распространения  $m$ -й моды волновода,  $z$  – продольная координата.

Разложим комплексные амплитуды взаимодействующих волн по модам волновода:

$$A_1(x, z) = \sum_{p=0}^N a_{1p}(z) \tilde{f}_p(x) \exp(-i\beta_p z), \quad (3)$$

$$A_3(x, z) = \sum_{s=0}^N a_{3s}(z) \tilde{f}_s(x) \exp(-i\beta_s z),$$

$$A_2(x, z) = \sum_{m=0}^N a_{2m}(z) \tilde{f}_m(x) \exp(i\beta_m z), \quad (4)$$

$$A_6(x, z) = \sum_{r=0}^N a_{6r}(z) \tilde{f}_r(x) \exp(i\beta_r z),$$

где  $a_{jn}(z)$  – коэффициенты разложения волн накачки, сигнальной и отраженной волн по модам,  $N$  – число мод волновода, учитываемых в разложении. Из системы уравнений (1) следует, что коэффициенты  $a_{jn}(z)$ ,  $j = 1, 2, 3$ , не меняется вдоль оси  $Z$ .

В приближении медленно меняющихся амплитуд из (1) с учетом разложения взаимодействующих волн по модам волновода уравнение, описывающее изменение вдоль оси  $Z$  коэффициентов в разложении амплитуды волны  $A_6(x, z)$  по модам волновода, можно записать следующим образом:

$$\begin{aligned} 2i\beta_r \frac{da_{6r}}{dz} &= g \sum_{p=0}^N \sum_{p'=0}^N \sum_{p''=0}^N \sum_{m=0}^N \sum_{s=0}^N a_{1p} a_{1p'} a_{1p''}^* a_{2m} a_{3s}^* \times \\ &\times \gamma_{pp'p''msr} \exp[-i\Delta_{pp'p''msr} z] + \\ &+ g \sum_{p=0}^N \sum_{m=0}^N \sum_{m'=0}^N \sum_{m''=0}^N \sum_{s=0}^N a_{1p} a_{2m} a_{2m'}^* a_{2m''}^* a_{3s}^* \times \\ &\times \gamma_{pmm'm''sr} \exp[-i\Delta_{pmm'm''sr} z] \end{aligned} \quad (5)$$

Здесь

$$\gamma_{pp'p''msr} = \int \tilde{f}_p(x) \tilde{f}_{p'}(x) \tilde{f}_{p''}(x) \tilde{f}_m(x) \tilde{f}_s(x) \times \tilde{f}_r(x) dx -$$

интеграл перекрытия, характеризующий эффективность взаимодействия шести мод волновода,

$$\begin{aligned} \Delta_{pp'p''msr} &= \beta_p + \beta_{p'} - \beta_{p''} - \beta_m - \beta_s + \beta_r, \\ \Delta_{pmm'm''sr} &= \beta_p - \beta_m - \beta_{m'} + \beta_{m''} - \beta_s + \beta_r - \end{aligned}$$

волновые расстройки.

С учетом граничного условия  $a_{6r}(z = \ell) = 0$ , проинтегрировав правую и левую части выражения (5) по продольной координате  $z$ , получим

$$\begin{aligned} a_{6r}(z = 0) &= -\frac{ig\ell}{2\beta_r} \sum_{p=0}^N \sum_{p'=0}^N \sum_{p''=0}^N \sum_{m=0}^N \sum_{s=0}^N \gamma_{pp'p''msr} a_{1p} a_{1p'} \times \\ &\times a_{1p''}^* a_{2m} a_{3s}^* \text{sinc}\left(\frac{\Delta_{pp'p''msr}\ell}{2}\right) \exp\left(-i\frac{\Delta_{pp'p''msr}\ell}{2}\right) - \\ &- \frac{ig\ell}{2\beta_r} \sum_{p=0}^N \sum_{m=0}^N \sum_{m'=0}^N \sum_{m''=0}^N \sum_{s=0}^N \gamma_{pmm'm''sr} a_{1p} a_{2m} a_{2m'}^* a_{2m''}^* a_{3s}^* \times \\ &\times \text{sinc}\left(\frac{\Delta_{pmm'm''sr}\ell}{2}\right) \exp\left(-i\frac{\Delta_{pmm'm''sr}\ell}{2}\right). \end{aligned} \quad (6)$$

Зная выражение для коэффициента  $a_{6r}$ , найдем амплитуду объектной волны на передней грани волновода:

$$\begin{aligned} A_6(x, z = 0) &= \sum_{r=0}^N a_{6r} \tilde{f}_r(x) = -i\frac{g\ell}{2} \sum_{r=1}^N \frac{\tilde{f}_r(x)}{\beta_r} \times \\ &\times \left\{ \sum_{p=0}^N \sum_{p'=0}^N \sum_{p''=0}^N \sum_{m=0}^N \sum_{s=0}^N \gamma_{pp'p''msr} a_{1p} a_{1p'} a_{1p''}^* a_{2m} a_{3s}^* \times \right. \\ &\times \text{sinc}\left(\frac{\Delta_{pp'p''msr}\ell}{2}\right) \exp\left(-i\frac{\Delta_{pp'p''msr}\ell}{2}\right) + \\ &+ \sum_{p=0}^N \sum_{m=0}^N \sum_{m'=0}^N \sum_{m''=0}^N \sum_{s=0}^N a_{1p} a_{2m} a_{2m'}^* a_{2m''}^* a_{3s}^* \gamma_{pmm'm''sr} \times \\ &\left. \times \text{sinc}\left(\frac{\Delta_{pmm'm''sr}\ell}{2}\right) \exp\left(-i\frac{\Delta_{pmm'm''sr}\ell}{2}\right) \right\}. \end{aligned} \quad (7)$$

Пусть сигнальная волна – это волна от точечного источника, расположенного на передней грани волновода на расстоянии  $x_0$  от оптической оси,

$$A_3(x, z = 0) = \delta(x - x_0).$$

Тогда выражение для коэффициента  $a_{3r}$  в разложении амплитуды сигнальной волны по модам волновода можно представить в виде:

$$a_{3s}(z=0) = \int \tilde{f}_s(x) A_3(x, z=0) dx = \tilde{f}_s(x_0). \quad (8)$$

Подставив (8) в (7), получим выражение, описывающее преобразование точечного сигнала (функция размытия точки (ФРТ)) вида

$$\begin{aligned} G(x, x_0, z=0) = & -i \frac{g\ell}{2} \sum_{r=1}^N \frac{\tilde{f}_r(x)}{\beta_r} \times \\ & \times \left\{ \sum_{p=0}^N \sum_{p'=0}^N \sum_{m=0}^N \sum_{m'=0}^N \sum_{s=0}^N \gamma_{pp'p''msr} a_{1p} a_{1p'} a_{1p''}^* a_{2m} \tilde{f}_s(x_0) \times \right. \\ & \times \text{sinc} \left( \frac{\Delta_{pp'p''msr} \ell}{2} \right) \exp \left( -i \frac{\Delta_{pp'p''msr} \ell}{2} \right) + \\ & + \sum_{p=0}^N \sum_{m=0}^N \sum_{m'=0}^N \sum_{m''=0}^N \sum_{s=0}^N a_{1p} a_{2m} a_{2m'}^* a_{2m''} \tilde{f}_s(x_0) \gamma_{pmm'm''sr} \times \\ & \left. \times \text{sinc} \left( \frac{\Delta_{pmm'm''sr} \ell}{2} \right) \exp \left( -i \frac{\Delta_{pmm'm''sr} \ell}{2} \right) \right\}. \quad (9) \end{aligned}$$

Будем рассматривать длинные волноводы, т.е. считаем, что при условии  $\Delta_{pp'p''msr} \neq 0$ ,  $\Delta_{pmm'm''sr} \neq 0$ ,  $\Delta_{pp'p''msr} \ell \gg 1$ ,  $\Delta_{pmm'm''sr} \ell \gg 1$ . Тогда основной вклад в выражение для комплексной амплитуды объектной волны дают слагаемые, для которых выполняются условия

$$\Delta_{pp'p''msr} = 0, \quad \Delta_{pmm'm''sr} = 0. \quad (10)$$

Это условия фазового синхронизма для шестиволнового взаимодействия. Условие фазового синхронизма уменьшает число сумм, входящих в выражение (9), устанавливает связь между номерами шести взаимодействующих мод волновода.

## 2. Обсуждение результатов

В качестве волноводов рассмотрим двумерный волновод с бесконечно проводящими поверхностями, расположенными на расстоянии  $2a$  друг от друга, заполненный средой с показателем преломления  $n_1$ , и двумерный волновод с параболическим профилем показателя преломления:

$$n^2(x) = n_1^2 \left[ 1 - 2\varepsilon_2 \left( x/x_q \right)^2 \right],$$

$\varepsilon_2$  и  $x_q$  – параметры, характеризующие волновод.

Модами волновода с бесконечно проводящими поверхностями являются функции

$$\tilde{f}_r(x) = \frac{1}{\sqrt{a}} \sin \left[ \frac{\pi(r+1)}{2a} (x+a) \right]. \quad (11)$$

Модами параболического волновода являются функции Гаусса–Эрмита [19].

$$\tilde{f}_r(x) = \sqrt{\frac{2}{\pi}} \frac{1}{\sqrt{2^r r! \omega_0}} H_r \left( \frac{x\sqrt{2}}{\omega_0} \right) \exp \left( -\frac{x^2}{\omega_0^2} \right). \quad (12)$$

Здесь  $H_r(x\sqrt{2}/\omega_0)$  – многочлен Эрмита  $r$ -го порядка,  $\omega_0^2 = (2x_q)/(k n_1 (2\varepsilon_2)^{1/2})$ . Постоянная распространения  $r$ -й моды волновода есть

$$\beta_r = \{k^2 n_1^2 - q_r^2\}^{1/2}, \quad (13)$$

где  $q_r^2 = 2(2r+1)/\omega_0^2$  – для параболического волновода,  $q_r^2 = [\pi(r+1)/2a]^2$  – для волновода с бесконечно проводящими поверхностями.

Из условий фазового синхронизма (10) следует связь между номерами мод взаимодействующих волн вида: в волноводе с бесконечно проводящими стенками

$$\Delta_{pmm'm''sr} = 0 \Rightarrow (p+1)^2 - (m+1)^2 - (m'+1)^2 + (m''+1)^2 - (s+1)^2 + (r+1)^2 = 0, \quad (14)$$

$$\Delta_{pp'p''msr} = 0 \Rightarrow (p+1)^2 + (p'+1)^2 - (p''+1)^2 - (m+1)^2 - (s+1)^2 + (r+1)^2 = 0, \quad (15)$$

в параболическом волноводе

$$\Delta_{pmm'm''sr} = 0 \Rightarrow p - m - m' + m'' - s + r = 0, \quad (16)$$

$$\Delta_{pp'p''msr} = 0 \Rightarrow p + p' - p'' - m - s + r = 0. \quad (17)$$

Если обе волны накачки одномодовые и возбуждают нулевую моду волновода, выражение для ФРТ принимает вид

$$\begin{aligned} G_0(x, x_0, z=0) = & -i \frac{g\ell}{k} (a_{10}^3 a_{20} + a_{10} a_{20}^3) \times \\ & \times \sum_{r=0}^N \tilde{f}_r(x) \tilde{f}_r(x_0) \gamma_{0000rr}. \quad (18) \end{aligned}$$

На рис. 1 для шестиволновых преобразователей излучения в волноводе с бесконечно проводящими поверхностями (рис. 1а), в параболическом волноводе (рис. 1б) приведены нормированные на максимальное значение ( $\tilde{G} = |G(x, x_0 = a, z=0)|/G_{\max}$ ,  $G_{\max}$  – максимальные значения функции) зависимости модулей ФРТ от поперечных координат. При расчете ФРТ учитывалось 30 мод волновода. Вид модулей ФРТ типичен для многомодовых преобразователей излучения в средах с керровской, тепловой, резонансной нелинейностями [17] – увеличение поперечной координаты приводит к уменьшению (монотонному или осциллирующему) модулю ФРТ.

Пусть первая волна накачки возбуждает нулевую моду волновода ( $p=0$ ), а вторая волна накачки многомодовая. Тогда ФРТ шестиволнового преобразователя излучения в параболическом волноводе есть

$$\begin{aligned} G_1(x, x_0, z=0) = & -i \frac{g\ell}{2} \times \\ & \times \left\{ a_{10}^3 \sum_{m=0}^N \sum_{s=0}^N \frac{\tilde{f}_{r=s+m}(x)}{\beta_{r=s+m}} \gamma_{000ms(s+m)} a_{2m} \tilde{f}_s(x_0) + \right. \\ & + a_{10} \sum_{m=0}^N \sum_{m'=0}^N \sum_{m''=0}^N \sum_{s=0}^N \frac{\tilde{f}_{s+m+m'-m''}(x)}{\beta_{s+m+m'-m''}} \gamma_{0mm'm''s(s+m+m'-m'')} \times \\ & \left. \times a_{2m} a_{2m'}^* a_{2m''} \tilde{f}_s(x_0) \right\}. \quad (19) \end{aligned}$$

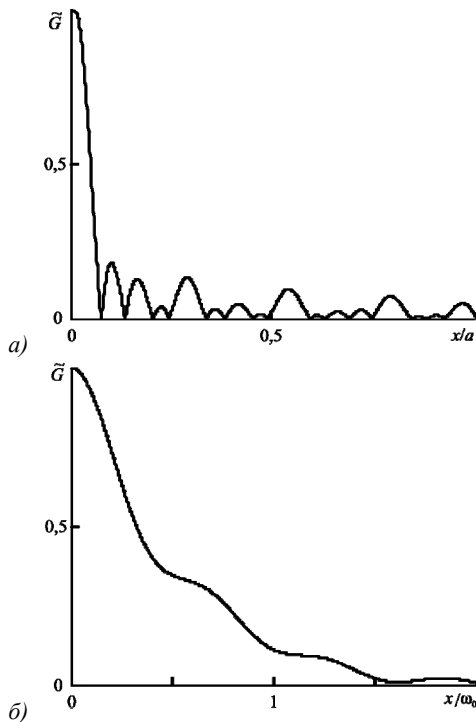


Рис. 1. Вид модулей ФРТ шестиволновых преобразователей в волноводе с бесконечно проводящими поверхностями (а), в параболическом волноводе (б) при одномодовых волнах накачки ( $p=m=0$ )

Выражение для ФРТ шестиволнового преобразователя излучения в волноводе с бесконечно проводящими стенками совпадает с выражением для ФРТ шестиволнового преобразователя излучения в параболическом волноводе (19) при условии, что в первой сумме номер моды объектной волны находится из условия

$$(r+1)^2 = (m+1)^2 + (s+1)^2 - 1, \tag{20}$$

а во второй сумме из условия

$$(r+1)^2 = (s+1)^2 + (m+1)^2 + (m'+1)^2 - (m''+1)^2 - 1. \tag{21}$$

Если вторая волна накачки одномодовая и возбуждает основную моду волновода ( $m=0$ ), а первая волна накачки многомодовая, тогда выражение для ФРТ шестиволнового преобразователя излучения в параболическом волноводе запишется следующим образом

$$G_2(x, x_0, z=0) = -i \frac{g\ell}{2} \times \left\{ a_{20} \sum_{p=0}^N \sum_{p'=0}^N \sum_{p''=0}^N \sum_{s=0}^N \frac{\tilde{f}_{s-p-p'+p''}(x)}{\beta_{s-p-p'+p''}} \gamma_{0pp'p''s(s-p-p'+p'')} \times \right. \\ \left. \times a_{1p} a_{1p'} a_{1p''}^* \tilde{f}_s(x_0) + a_{20}^3 \sum_{p=0}^N \sum_{s=0}^N \frac{\tilde{f}_{r=s-p}(x)}{\beta_{r=s-p}} a_{1p} \tilde{f}_s(x_0) \gamma_{000ps(s-p)} \right\}. \tag{22}$$

Если шестиволновое взаимодействие реализуется в волноводе с бесконечно проводящими стенками, то

в первой сумме выражения (22) номер моды объектной волны находится из условия

$$(r+1)^2 = (s+1)^2 - (p+1)^2 - (p'+1)^2 + (p''+1)^2 + 1, \tag{23}$$

а во второй сумме из условия

$$(r+1)^2 = (s+1)^2 - (p+1)^2 + 1. \tag{24}$$

Качество ОВФ шестиволновым преобразователем излучения будем характеризовать полушириной центрального максимума ФРТ, расположенной на оси волновода ( $\Delta x$ ), определяемой из решения уравнения [10],

$$|G(x = \Delta x, x_0 = 0, z = 0)| = \frac{1}{2} G(x = 0, x_0 = 0, z = 0). \tag{25}$$

При условии, что обе волны накачки одномодовые с нулевыми номерами мод, полуширина модуля ФРТ четырехволнового преобразователя излучения в волноводе с бесконечно проводящими стенками  $\Delta x = 0,039a$ , в параболическом волноводе  $\Delta x = 0,031\omega_0$ .

### 2.1. Параболический волновод

На рис. 2 для шестиволнового преобразователя в волноводе с параболическим профилем показателя преломления приведены зависимости нормированных полуширин модулей ФРТ, расположенной на оси волновода, от нормированной ширины волны накачки при условии, что одна из волн накачки возбуждает нулевую моду волновода, а распределение амплитуды другой волны накачки на грани волновода описывается гауссовой функцией ( $A_1(x, z=0) = \exp(-x^2/b^2)$ ) или ( $A_2(x, z=\ell) = \exp(-x^2/b^2)$ ), здесь  $b$  – ширина волны накачки).

При  $A_1 A_1^* \gg A_2 A_2^*$  для шестиволнового преобразователя излучения как при уменьшении ширины второй гауссовой волны накачки при условии возбуждения первой волной накачки моды волновода с нулевым номером, так и при уменьшении ширины первой гауссовой волны накачки при условии возбуждения второй волной накачки моды волновода с номером  $m=0$  наблюдается уменьшение полуширины модуля ФРТ (рис. 2а). Качество ОВФ улучшается. Причем в интервале  $0 \leq b \leq \omega_0$  значения полуширин модулей ФРТ как в случае одномодовой первой волны накачки и многомодовой второй волны накачки, так и в случае одномодовой второй волны накачки и многомодовой первой волны накачки с точностью 4% совпадают. В интервале  $\omega_0 \leq b \leq 10\omega_0$  скорость изменения полуширины модуля ФРТ с увеличением ширины пучка накачки в случае одномодовой первой волны накачки и многомодовой второй волны накачки оказывается меньше, чем в случае одномодовой первой волны накачки и многомодовой второй волны накачки.

При  $A_1 A_1^* \ll A_2 A_2^*$  для шестиволнового преобразователя излучения уменьшение ширины пучка второй гауссовой волны накачки при условии возбуждения

первой волной накачки моды волновода с номером  $p=0$  уменьшает полуширину модуля ФРТ.

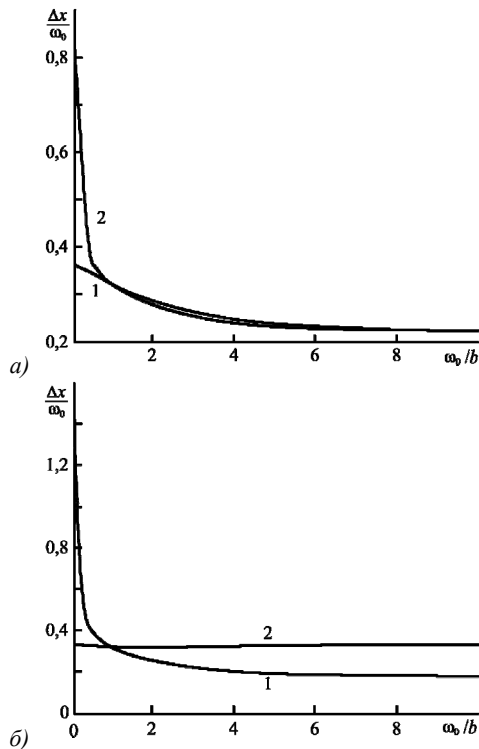


Рис. 2. Зависимость нормированной полуширины модуля ФРТ от нормированной ширины волны накачки.

Интенсивности волн накачки:  $A_1A_1^* \gg A_2A_2^*$  (а),

$A_1A_1^* \ll A_2A_2^*$  (б). Первая волна накачки возбуждает нулевую моду волновода, амплитуда второй волны накачки меняется по гауссовому закону (1); амплитуда первой волны накачки меняется по гауссовому закону, вторая волна накачки возбуждает нулевую моду волновода (2)

Однако в случае, когда амплитуда первой волны накачки на передней грани волновода меняется по гауссову закону, а вторая волна накачки возбуждает нулевую моду волновода, уменьшение ширины пучка накачки практически не меняет полуширину модуля ФРТ.

В табл. 1 приведены максимальное и минимальное значения полуширин модулей ФРТ в диапазоне изменения ширины волны накачки  $0,125\omega_0 \leq b \leq 5\omega_0$

Табл. 1. Максимальное и минимальное значения полуширин модулей ФРТ шестиволнового преобразователя в волноводе с параболическим профилем показателя преломления

	Первая волна накачки	Вторая волна накачки	Максимальное значение полуширины	Минимальное значение полуширины
$A_1A_1^* \gg A_2A_2^*$	одно- модовая	гауссова	0,358 $\omega_0$	0,226 $\omega_0$
	гауссова	одно- модовая	0,687 $\omega_0$	0,225 $\omega_0$
$A_1A_1^* \ll A_2A_2^*$	одно- модовая	гауссова	0,881 $\omega_0$	0,183 $\omega_0$
	гауссова	одно- модовая	0,331 $\omega_0$	0,332 $\omega_0$

Сравнение минимальных значений полуширины модулей ФРТ шестиволновых преобразователей излучения в параболическом волноводе показывает, что среди рассмотренных случаев наилучшее качество ОВФ будет наблюдаться при  $A_1A_1^* \ll A_2A_2^*$  и условии, что первая волна накачки одномодовая с нулевым номером моды, а распределение амплитуды второй волны накачки на задней грани волновода описывается гауссовой функцией, изменение ширины которой позволяет изменять разрешающую способность шестиволнового преобразователя излучения, оцениваемую по полуширине модуля ФРТ.

В случае  $A_1A_1^* \gg A_2A_2^*$ , когда первая волна накачки одномодовая, а вторая волна накачки многомодовая, ФРТ шестиволнового преобразователя излучения можно представить в виде когерентной суммы ФРТ, соответствующих одномодовым волнам накачки,

$$G_1(x, x_0, z=0) = \sum_{m=0}^N G_{0m}(x, x_0, z=0), \quad (26)$$

где

$$G_{0m}(x, x_0, z=0) = -i \frac{g^l}{2kn_1} a_{i0}^3 a_{2m} \sum_{r=m}^N \tilde{f}_r(x) \tilde{f}_{r-m}(x_0) \gamma_{000mr(r-m)}$$

В функциях  $G_{0m}(x, x_0, z=0)$  отсутствуют моды волновода с номерами от 0 до  $m-2$ . При условии, что первая волна накачки возбуждает нулевую моду волновода, увеличение номера моды второй волны накачки приводит к сужению ширины центрального максимума модуля функций  $G_{0m}(x, x_0, z=0)$ , возрастанию величины боковых максимумов (рис. 3). По мере отклонения от единицы отношения  $\omega_0/b$  увеличивается вклад в выражении (26) ФРТ, соответствующих одномодовым волнам накачки с неравными номерами мод. Причем при  $b < \omega_0$  центральные максимумы этих функций складываются синфазно, а при  $b > \omega_0$  – в противофазе. Это объясняет улучшение качества ОВФ с уменьшением ширины пучка накачки. Сходный характер зависимости полуширины модуля ФРТ от ширины пучка гауссовых волн накачки наблюдается и для четырехволнового преобразователя излучения [20].

Аналогично выражение для ФРТ шестиволнового преобразователя излучения в виде когерентной суммы ФРТ, соответствующих одномодовым волнам накачки, можно представить и в случае  $A_1A_1^* \ll A_2A_2^*$ , когда вторая волна накачки возбуждает одну моду волновода, например, с номером  $m=0$ , а первая волна многомодовая. В этом случае ФРТ, соответствующие одномодовым волнам накачки, есть

$$G_{2,p}(x, x_0, z=0) = -i \frac{g^l}{2kn_1} a_{20}^3 a_{1p} \sum_{r=0}^N \tilde{f}_r(x) \times \tilde{f}_{r+p}(x_0) \gamma_{000pr(r+p)}. \quad (27)$$

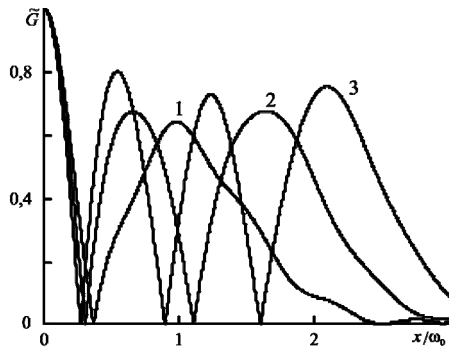


Рис. 3. Нормированные на максимальное значение модули ФРТ шестиволнового преобразователя излучения в параболическом волноводе, соответствующие одномодовым волнам накачки с номерами мод  $p = 0, m = 2(1), 4(2), 6(3)$

Численный анализ выражения (27) показывает, что в диапазоне изменения ширины первой гауссовой волны накачки  $0,1\omega_0 < b < 10\omega_0$  имеем

$$|G_{2p}(x, x_0, z = 0)| \ll |G_{20}(x, x_0, z = 0)|, \quad p = 2, 4, \dots$$

Так, например, при  $\omega_0/b = 3$  отношение максимальных значений модулей функций  $G_{2p}$  и  $G_{20}$  составляет при  $p = 2, 4, 6$  соответственно 0,12, 0,04, 0,02. Это объясняет слабую зависимость ширины модуля ФРТ шестиволнового преобразователя излучения от ширины первой гауссовой волны накачки.

### 2.2. Волновод

с бесконечно проводящими поверхностями

Для шестиволнового преобразователя излучения в волноводе с бесконечно проводящими поверхностями изменение ширины одной из гауссовых волн накачки при условии возбуждения второй волной накачки нулевой моды волновода в диапазоне  $0,125a \leq b \leq 5a$  независимо от соотношения интенсивностей волн накачки слабо меняет полуширину модуля ФРТ (табл. 2). Относительное изменение полуширины модуля ФРТ, оцениваемое как

$$\xi = (\Delta x_{\max} - \Delta x_{\min}) / \Delta x_0,$$

где  $\Delta x_{\max}, \Delta x_{\min}$  – максимальное и минимальное значение полуширины модуля ФРТ на рассматриваемом диапазоне ширин волны накачки,  $\Delta x_0$  – значение полуширины модуля ФРТ при одномодовых волнах накачки ( $p = m = 0$ ) в рассмотренных случаях меняется от 5,1 % до 25,6 %.

Остановимся на случае  $A_1 A_1^* \gg A_2 A_2^*$ , когда происходит изменение ширины второй гауссовой волны накачки при условии возбуждения первой волной накачки в волноводе нулевой моды.

Для этого случая условие фазового синхронизма (20) выполняется при двух условиях:

- 1) номер моды второй волны накачки равен нулю ( $m = 0$ ), а номера мод сигнальной и объектной волн совпадают ( $r = s$ );

- 2) номер моды сигнальной волны равен нулю ( $s = 0$ ), совпадают номера мод объектной волны и второй волны накачки ( $r = m$ ).

Табл. 2. Максимальное и минимальное значения полуширин модулей ФРТ шестиволнового преобразователя в волноводе с бесконечно проводящими поверхностями

	Первая волна накачки	Вторая волна накачки	Минимальное значение полуширины	Максимальное значение полуширины	$\xi, \%$
$A_1 A_1^* \gg A_2 A_2^*$	одномодовая	гауссова	0,039a	0,041a	5,1
	гауссова	одномодовая	0,038a	0,046a	20,5
$A_1 A_1^* \ll A_2 A_2^*$	одномодовая	гауссова	0,038a	0,048a	25,6
	гауссова	одномодовая	0,039a	0,044a	12,6

Тогда выражение для ФРТ (19) можно записать следующим образом

$$G_1^{(1)}(x, x_0 = 0, z = 0) = -i \frac{g \ell}{2kn_1} a_{10}^3 \times \left\{ a_{20} \sum_{r=0}^N \sin \left[ \frac{\pi(r+1)}{2a} (x+a) \right] \sin \left[ \frac{\pi(r+1)}{2} \right] \gamma_{0000rr} + \right. \\ \left. + \sum_{r=2}^N a_{2r} \sin \left[ \frac{\pi(r+1)}{2a} (x+a) \right] \gamma_{0000rr} \right\}. \quad (28)$$

В случае  $A_2 A_2^* \gg A_1 A_1^*$ , когда первая волна накачки многомодовая, а вторая волна – одномодовая ( $m = m' = m'' = 0$ ), условие фазового синхронизма (24) может быть выполнено, если:

- 1) номер моды первой волны накачки равен нулю ( $p = 0$ ), а номера мод сигнальной и объектной волн совпадают ( $r = s$ );
- 2) номер моды объектной волны равен нулю ( $r = 0$ ), совпадают номера мод сигнальной волны и первой волны накачки ( $s = p$ ). В этом случае выражение для ФРТ запишется следующим образом

$$G_2^{(2)}(x, x_0 = 0, z = 0) = -i \frac{g \ell}{2kn_1} a_{20}^3 \times \left\{ a_{10} \sum_{r=0}^N \sin \left[ \frac{\pi(r+1)}{2a} (x+a) \right] \sin \left[ \frac{\pi(r+1)}{2} \right] \gamma_{0000rr} + \right. \\ \left. + \sin \left[ \frac{\pi}{2a} (x-a) \right] \sum_{p=2}^N a_{1p} \sin \left[ \frac{\pi(p+1)}{2} \right] \gamma_{0000pp} \right\}. \quad (29)$$

Численный анализ выражений (28), (29) показывает, что величины первых слагаемых, значения которых определяет нулевая мода второй (первой) волны накачки, намного превосходит значение второго слагаемого, зависящего от коэффициентов высших мод в

разложении амплитуды второй (первой) волны накачки по модам волновода. Так, например, для функции  $G_2^{(2)}$  отношение максимальных значений модулей второго и первого слагаемых составляет 0,042. Это объясняет слабую зависимость полуширины модуля ФРТ от ширины гауссовой волны накачки.

### Заключение

С использованием метода ФРТ в приближении малого коэффициента отражения проанализировано качество ОВФ шестиволновыми преобразователями излучения в многомодовых волноводах (параболическом, с бесконечно проводящими поверхностями) с керровской нелинейностью с учетом гауссовой пространственной структуры волн накачки.

Показано, что при шестиволновом взаимодействии в волноводе с бесконечно проводящими поверхностями при условии, что одна волна накачки возбуждает нулевую моду волновода, а распределение амплитуды другой волны накачки на грани волновода меняется по гауссову закону, ширина волны накачки слабо влияет на качество ОВФ. Сходная ситуация наблюдается для шестиволнового преобразователя излучения в параболическом волноводе при условии, что интенсивность второй накачки намного больше интенсивности первой волны накачки, вторая волна накачки возбуждает нулевую моду волновода, а распределение амплитуды первой волны накачки в зависимости от поперечной координаты меняется по гауссову закону.

В случае, когда интенсивность первой волны накачки намного превосходит интенсивность второй волны накачки, полуширина модуля ФРТ шестиволнового преобразователя в параболическом волноводе с уменьшением ширины гауссовой волны накачки уменьшается. Качество ОВФ улучшается.

Заметим, что объяснение полученных результатов, используя представление ФРТ шестиволнового преобразователя излучения в волноводе в виде когерентной суммы ФРТ, соответствующих одномодовым волнам накачки, возможно лишь в случае, когда волна накачки, амплитуда которой входит в выражение для нелинейной поляризации среды в третьей степени, возбуждает одну из мод волновода, а многомодовой является волна накачки, амплитуда которой входит в выражение для нелинейной поляризации среды в первой степени.

### References

- [1] Ivakhnik VV, Nikonov VI. Six-wave interaction with double wavefront reversal on thermal nonlinearity in a medium with a nonlinear absorption coefficient. *Computer Optics* 2017; 41(3): 315-321. DOI: 10.18287/2412-6179-2017-41-3-315-321.
- [2] Karpuk SM, Rubanov AS, Tolstik AL. Double phase conjugation in quadratic recording of dynamic holograms in resonance media. *Opt Spectrosc* 1996; 80(2): 276-280.
- [3] Astinov V, Kubarych KJ, Milne CJ, Miller RJD. Diffractive optics implementation of six-wave mixing. *Opt Lett* 2000; 25(11): 853-855. DOI: 10.1364/OL.25.000853.
- [4] Miller RJD, Paarmann A, Prokhopenko AI. Diffractive optics based four-wave, six-wave, ...,  $\nu$ -wave nonlinear spectroscopy. *Acc Chem Res* 2009; 42(9): 1442-1451. DOI: 10.1021/ar900040f.
- [5] Romanov OG, Gorbach DV, Tolstik AL. Frequency transformation of optical vortices upon nondegenerate multiwave interaction in dye solutions. *Opt Spectrosc* 2010; 108(5): 768-773. DOI: 10.1134/S0030400X10050152.
- [6] Gaižauskas E, Steponkevičius K, Vaičaitis V. Fifth-order intensity autocorrelations based on six-wave mixing of femtosecond laser pulses. *Phys Rev A* 2016; 93(2): 023813. DOI: 10.1103/PhysRevA.93.023813.
- [7] Lin S, Hands ID, Andrews DL, Meech SR. Optically induced second harmonic generation by six-wave mixing: A novel probe of solute orientation dynamics. *J Phys Chem A* 1999; 103(20): 3830-3836. DOI: 10.1021/jp9845221.
- [8] Heuer W, Zacharias H. Stimulated Raman effect and four-wave mixing in a hollow waveguide. *IEEE J Quantum Electron* 1988; 24(10): 2087-2100. DOI: 10.1109/3.8547.
- [9] Lor KP, Chiang KS. Theory of nondegenerate fourwave mixing in a birefringent optical fibre. *Opt Commun* 1998; 152(1-3): 26-30. DOI: 10.1016/S0030-4018(98)00127-8.
- [10] Ivakhnik VV, Nikonov VI, Harskaja TG. Four-wave conversion of radiation by thermal nonlinearity in a fiber with a parabolic profile [In Russian]. *Izvestija Vuzov: Priborostroenie* 2006; 49(8): 54-60.
- [11] Gupta R, Kaler RS. Nonlinear Kerr and intermodal four-wave mixing effect in mode-division multiplexed multimode fiber link. *Opt Eng* 2019; 58(3): 036108. DOI: 10.1117/1.OE.58.3.036108.
- [12] Zhang H, Bigot-Astruc M, Sillard P, Fatome J. Spatially multiplexed picosecond pulse-train generation in a 6 LP mode fiber based on multiple four-wave mixings. *Appl Opt* 2019; 58(31): 8570-8576. DOI: 10.1364/AO.58.008570.
- [13] Anjum OF, Guasoni M, Horak P, Jung Y, Petropoulos P, Richardson DJ, Parmigiani F. Polarization-insensitive four-wave-mixing-based wavelength conversion in few-mode optical fibers. *J Lightw Technol* 2018; 36(17): 3678-3683. DOI: 10.1109/JLT.2018.2834148.
- [14] Zhou H, Liao M, Huang S-W, Zhou L, Qiu K, Wong CW. Six-wave mixing induced by free-carrier plasma in silicon nanowire waveguides. *Laser Photon Rev* 2016; 10(6): 1054-1061. DOI: 10.1002/lpor.201600124.
- [15] Dmitriev VG. *Nonlinear optics and wavefront reversal* [In Russian]. Moscow: "Fizmatlit" Publisher; 2003.
- [16] Voronin ES, Petnikova VM, Shuvalov VV. Use of degenerate parametric processes for wavefront correction (review). *Sov J Quantum Electron* 1981; 11(5): 551-561. DOI: 10.1070/QE1981v01n05ABEH006899.
- [17] Ivakhnik VV. *Wavefront reversal at four-wave interactions* [In Russian]. Samara: "Samara State University" Publisher; 2010.
- [18] Vinogradova MB, Rudenko OV, Sukhorukov AP. *Wave theory* [In Russian]. Moscow: "Fizmatlit" Publisher; 1979.
- [19] Adams MJ. *An introduction to optical waveguide*. New York: John Wiley & Sons Inc; 1981.
- [20] Ivakhnik VV, Kapizov DR, Nikonov VI. Quality of wavefront reversal for four-wave interaction in a multimode waveguide with thermal nonlinearity. *Computer Optics* 2022; 46(1): 48-55. DOI: 10.18287/2412-6179-CO-1011.

---

**Сведения об авторах**

**Ивахник Валерий Владимирович**, 1951 года рождения. Доктор физико-математических наук, профессор, заведующий кафедрой оптики и спектроскопии Самарского национального исследовательского университета имени академика С.П. Королева. Область научных интересов: нелинейная оптика, динамическая голография. E-mail: [ivakhnik@ssau.ru](mailto:ivakhnik@ssau.ru)

**Капизов Дархан Рахметулович**, 1996 года рождения, аспирант 3-го года обучения кафедры оптики и спектроскопии Самарского национального исследовательского университета имени академика С.П. Королева. Область научных интересов: нелинейная оптика, динамическая голография. E-mail: [darkhankapizov@gmail.com](mailto:darkhankapizov@gmail.com)

**Никонов Владимир Иванович**, 1959 года рождения. Кандидат физико-математических наук, доцент кафедры оптики и спектроскопии Самарского национального исследовательского университета имени академика С.П. Королева. Область научных интересов: нелинейная оптика, динамическая голография. E-mail: [nikon5919@mail.ru](mailto:nikon5919@mail.ru)

---

*Поступила в редакцию 13 октября 2023 г. Окончательный вариант – 16 ноября 2023 г.*

---



---

# Six-wave interaction in multimode waveguides with Kerr nonlinearity with allowance for the Gaussian structure of pump waves

V.V. Ivakhnik<sup>1</sup>, D.R. Kapizov<sup>1</sup>, V.I. Nikonov<sup>1</sup>  
<sup>1</sup>Samara National Research University,  
443086, Russia, Samara, Moskovskoye shosse 34

## Abstract

The quality of wavefront conjugation in the case of six-wave interaction in two-dimensional multimode waveguides with Kerr nonlinearity is analyzed under the condition that one of the pump waves excites a zero waveguide mode and the amplitude distribution of the other pump wave at the waveguide end facet varies according to the Gauss law. It is shown that in a waveguide with infinitely conducting walls, the half-width of the modulus of the point spread function of a six-wave radiation converter is completely determined by the transverse size of the waveguide and weakly depends on the width of the Gaussian pump wave. In a parabolic-index profile waveguide, a decrease in the width of the Gaussian pump wave at the waveguide ends commonly leads to a monotonic decrease in the half-width of the point spread function modulus.

**Keywords:** six-wave radiation converter, wavefront conjugation, Kerr nonlinearity.

**Citation:** Ivakhnik VV, Kapizov DR, Nikonov VI. Six-wave interaction in multimode waveguides with Kerr nonlinearity with allowance for the Gaussian structure of pump waves. *Computer Optics* 2024; 48(4): 483-490. DOI: 10.18287/2412-6179-CO-1439.

---

## Authors' information

**Valery Vladimirovich Ivakhnik** was born in 1951, Doctor of Physical and Mathematical Sciences, professor, head of Optics and Spectroscopy department, Samara National Research University, Samara, Russia. Research interests: nonlinear optics, dynamic holography. E-mail: [ivakhnik@ssau.ru](mailto:ivakhnik@ssau.ru)

**Darkhan Rakhmetulovich Kapizov** was born in 1996, 3st year postgraduate student of Optics and Spectroscopy department, Samara National Research University, Samara, Russia. Research interests: nonlinear optics, dynamic holography. E-mail: [darkhankapizov@gmail.com](mailto:darkhankapizov@gmail.com)

**Vladimir Ivanovich Nikonov** was born in 1959, Candidate of Physical and Mathematical Sciences, associate professor of Optics and Spectroscopy department, Samara National Research University, Samara, Russia. Research interests: nonlinear optics, dynamic holography. E-mail: [nikon5919@mail.ru](mailto:nikon5919@mail.ru)

---

*Received October 13, 2023. The final version – November 16, 2023.*

---